

図.5 うねり補正

3.4 予測符号化

サンプルされた点は濃度的な冗長性を持つため、周囲4点からの予測符号化と21段階の非線形量子化を行う。

3.5 双三次関数

復号は双三次関数により行う。この双三次関数はスプライン関数の一種で、直交する16点のみで近似が行える利点がある。

サンプル点と近似式を図.6にまとめる。

$$\begin{aligned}
 & u \quad v \\
 & -1 \quad 0 \quad 1 \quad 2 \\
 & 0 \quad \text{---} \\
 & 1 \quad \text{---} \\
 & 2 \quad \text{---}
 \end{aligned}
 \begin{aligned}
 p_{\text{u}}(u, v) &= \frac{1}{2} [p(u+1, v) - p(u-1, v)] \\
 p_{\text{v}}(u, v) &= \frac{1}{2} [p(u, v+1) - p(u, v-1)] \\
 p_{uv}(u, v) &= \frac{1}{2} [p(u-1, v-1) + p(u+1, v+1) \\
 &\quad - p(u-1, v+1) - p(u+1, v-1)] \\
 B &= \begin{bmatrix} p(0,0) & p(0,1) & p(0,0) & p(0,1) \\ p(1,0) & p(1,1) & p(1,0) & p(1,1) \\ p_u(0,0) & p_u(0,1) & p_{uv}(0,0) & p_{uv}(0,1) \\ p_u(1,0) & p_u(1,1) & p_{uv}(1,0) & p_{uv}(1,1) \end{bmatrix} \\
 Q(u, v) &= [H_0(u) \quad H_1(u) \quad \bar{H}_0(u) \quad \bar{H}_1(u)] B \begin{bmatrix} H_0(v) \\ H_1(v) \\ \bar{H}_0(v) \\ \bar{H}_1(v) \end{bmatrix} \\
 H_0(t) &= 2t^3 - 3t^2 + 1 \quad H_1(t) = 1 - H_0(t) \\
 H_0(t) &= t(1-t)^2 \quad H_1(t) = t^2(1-t)
 \end{aligned}$$

図.6 双三次関数近似

4. 実験

実験は以下の2種類について行った。

1) パッチ決定用しきい値の変化と圧縮効率の関係
細分化された領域から判定を行う時点における許容範囲を連続的に変え圧縮効率の変化をみる。

2) パッチの重なりの許可

パッチサイズ決定の条件である「他のパッチに重ならない」という条件を外し、他のパッチとのかねあいで成長を妨げられたパッチの統合を図る。(図.7)

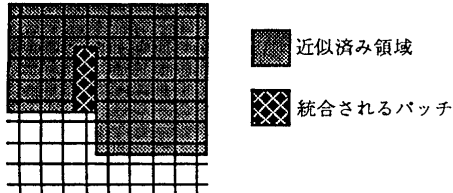


図.7 パッチサイズとサンプル点

5. 結果

1)当初、文字部のエッジの為にパッチの拡大が阻害され、写真部のみの場合とくらべ圧縮比が低下するものと予想したが、文字部の濃度が平坦であったため圧縮比、SNR共に、写真だけの場合より良い結果となった。(図.8)

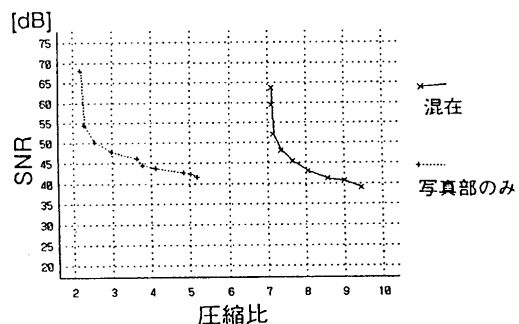


図.8 結果 1

2)しきい値3以下ではパッチの相互関係で統合のはかれたかった、小パッチがまとめられ重なりを許した場合の方が良い結果を得ているが、更にしきい値をあまくした場合、本来統合されるべきではないパッチまで取り込まれてしまい、圧縮比は良くなるがSNRが低下する傾向が見られる。(図.)

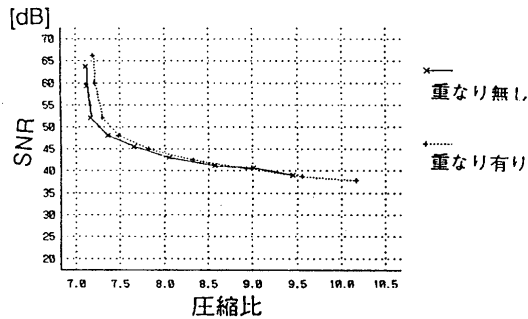
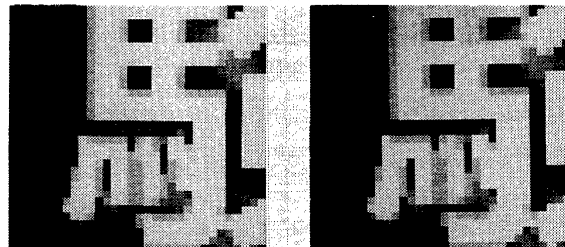


図.9 結果 2



圧縮比：8.07

S N R : 43.00 dB

図.10 拡大図(源画像)

図.11 拡大図(復元画像)

6.まとめ

本報告では、双三次関数により画像を近似する符号化方に可変サイズのブロックを導入することで、文字写真混在画像に対して写真部のみの場合と同等以上の符号化効率を得ることができる符号化方式についてまとめた。

実験により、SN比45.45dBで圧縮比7.66などの結果を得、本方式が写真と文字の分離が困難な画像に対して有効であることを示した。今後の課題として、異なる大きさやフォントやデザイン文字を含む画像に対しての検討などが挙げられる。

参考文献

- [1]飯塚, 小山, 中村, 南, 三宅: “関数近似による高精細画像の符号化に関する検討”, PCSJ 91予稿集, 8-1 (pp.183-pp.186)
- [2]三王, 中村, 南: “カラー画像の多段階ブロック符号化”, 信学技報, IE87-71